用 EST 和 SSR 标记定位水稻温敏不育基因 tms5

姜大刚 * 卢 森 * 周 海 武小金 庄楚雄 † 刘耀光 梅曼彤

(华南农业大学生命科学学院, 广东省植物功能基因组与生物技术重点试验室, 广州 510642; 国家杂交水稻工程技术研究中心, 长沙 410125.* 同等贡献: †联系人, E-mail: <u>zhuangcx@scau.edu.cn</u>)

摘要 利用cDNA 抑制差减杂交技术建立了水稻减数分裂时期穗部特异表达的 SSH 文库,从中筛选 121 个cDNA 片段作为 EST (expressed sequence tags)标记,用 RFLP (restriction fragment length polymorphism) 方法分析了温敏不育系安农 S-1 和正常品种安农 N 之间的多态性,其中一个 EST 标记 HN57 可以检测到亲本间的多态性,共分离分析结果表明,HN57 与安农 S-1 的温敏不育性完全共分离,进而将安农 S-1 的温敏不育基因 tms5 定位于 RGP (rice genome research program)遗传图的第二染色体的 31.2 cM 处. 为了进行精细定位,在该区域设计了 80 对 SSR (simple sequence repeat)引物对,用 12 对多态性引物将 tms5 定位于 181 kb 区间

关键词 水稻 安农 S-1 温敏不育基因 tms5 精细定位

水稻温敏不育系是发展二系杂交稻的重要资源. 温敏不育系的花粉育性主要受环境温度控制. 当环境温度高于某一温度时,水稻花粉表现为不育,而当环境温度低于某一温度时,表现为可育. 许多温敏不育材料已被发现,并被应用于二系杂交稻育种. 多个温敏不育基因 $tms1^{[1]}$, $tms2^{[2]}$, $tms3^{[3]}$, $tms4^{[4]}$, $tms5^{[5]}$, $tms6^{[6]}$ 和 $msh^{[7]}$ 已被定位.

安农S-1 是我国特有的一个温敏不育材料,已广泛应用于水稻二系法育种,其育性转换温度的起始点为 25 ,即环境温度高于 25 时,其花粉表现为不育,而环境温度低于 25 时,表现为可育,并且其温敏不育性受一对隐性基因控制 $^{[8]}$. Wang等人 $^{[5]}$ 将安农S-1 温敏不育基因定位于第二染色体的标记C365和G227 之间,并将该基因命名为tms5. 本研究利用穗部特异表达的cDNA片段作为EST标记,用RFLP (restriction fragment length polymorphism)方法对安农S-1 的温敏不育基因tms5 进行定位分析,获得了与tms5完全共分离的EST标记。进一步采用SSR (simple sequence repeat)标记,将tms5 定位在第二染色体的一个 181 kb区间.

1 材料与方法

() 植物材料. 提取RNA的材料为减数分裂时期的安农N的穗和剑叶. 定位群体为 3 个 F_2 群体,分别为安农S-1×安农N,安农S-1×IR36 和安农S-1 转育的香 125S×BAR-68, 其中安农S-1 为安农N的自然突变体,香 125S是由安农S-1 转育的不育系. 这些 F_2 群体在广州的早季种植,分别获得了 271 株、287 株和

229 株全不育株.

- () RNA 的提取和 mRNA 的分离. 以安农 N的减数分裂时期穗和剑叶作为材料. 总 RNA 用一步法(TRIzol 试剂, GIBCO/BRL 公司)提取. 采用磁珠法(Promega)分离 mRNA, 纯化的 mRNA 用酒精沉淀后,溶于 DEPC 水中, 终浓度为 0.5 μg/μL.
- () 抑制差减文库的构建和筛选. cDNA抑制差减杂交(suppress subtraction hybridization, SSH)采用 PCR-Select cDNA 差 减 试 剂 盒 (Clontech), 按 Diatchenko等人^[9]的方法进行. 减数分裂时期的安农 N 幼穗 cDNA 作为 tester, 同时期的叶的 cDNA 作为 driver. 文库的建立和筛选按庄楚雄等人^[10]的方法进行.
- () RFLP分析. 用SSH方法筛选得到的 121 个 减数分裂时期穗部特异表达的cDNA片段作为EST标记,亲本DNA分别用Alu , Apa , Asp , Asp 718, BamH , Bcl , BbrP , Bgl , Bfr , Bgl , Cfo , Cla , Kpn , Nco , Pst Pvu , Sau3A , Sal , Spe , Sty , Spe , Xho , Xba , Sca , Msp , Hpa , Hinf , Hind , EcoR , EcoR 和Dra 等酶切. 基因组DNA的抽提、酶切、电泳、转膜和分子杂交按McCouch等人[11]的方法进行.
- () SSR分析. SSR引物设计时, 利用gramene 网站(http://www.gramene.org)的软件SSRIT (simple sequence repeat identification tool)寻找SSR位点,设计的SSR引物扩增产物的长度为 60~80 bp. PCR扩增程序参照Akaji等人^[12]的方法进行,通过 6%的PAGE

胶电泳、银染方法检测[13].

- ()连锁分析. 选用 F_2 群体中不育个体作为定位群体,采用Zhang等人 I^{14} 的方法进行分析,重组值按公式C = (2NI + N2)/2N计算,其中C为分子标记与温敏不育性之间的重组值,N为总的不育个体数,NI为分子标记带型与可育亲本一致的个体数,N2为分子标记带型和杂合体一致的个体数.
- () 花粉育性观察. 于开花前采集当天开花的颖花, 置于 FAA 中固定并保存. 每个单株至少观察 3个小穗, 花药用 1%的 I-KI 染色. 根据花粉的形态及染色反应, 判断花粉的育性. 花粉可染率低于 2%为不育株, 其余的为可育株.

2 结果

2.1 安农 S-1 温敏不育性遗传分析

为了分析安农S-1 温敏不育性的遗传特点,采用了 3 个不同的 F_2 群体,分别为安农S-1 ×安农N,安农 S-1 × IR36 和香 125S × BAR-68. 在 3 个 F_2 群体中可育株与不育株的比例符合 3:1(表 1),这些结果表明安农S-1 的温敏不育性是受一隐性基因控制.

表 1 安农-1 温敏不育基因的遗传

组合(世代)	不育株/株	可育株/株	χ^2 (3:1)
安农S-1×安农N(F ₂)	271	914	2.89
安农S-1×IR36(F2)	287	873	0.041
香 125S×BAR-68 (F ₂)	229	771	2.352

2.2 EST 标记亲本多态性分析

以安农 N 减数分裂时期的小穗的 cDNA 作为tester, 以安农 N 减数分裂时期的剑叶的 cDNA 作为driver, 采用 SSH 方法构建了差减文库. 通过差异筛选, 共选择了 121 个在小穗中特异或优势表达的DNA 片段, 用这 121 个 cDNA 片段作为 EST 标记, 组合 31 种限制性内切酶酶切, 分析了安农 N 和安农 S-1之间的多态性. 分析表明, 只有其中的一个 EST 标记

HN57 可以检测亲本间多态性(图 1).

2.3 HN57 与温敏不育性的共分离

测序分析表明HN57 的全长为约 600 bp. 用Blast 分析(http://www.ncbi.nlm.nih.gov)发现HN57 是位于第二染色体上的BAC克隆OJ1006_A02 (序列号: AP003977)的单拷贝序列. OJ1006_A02 位于Wang等人^[5]报道的*tms5* 连锁标记C365 的附近.

用HN57 作为探针对安农S-1×安农N的 F_2 群体中271 株不育单株进行RFLP分析,结果表明,所有不育株的杂交带型都和不育亲本安农S-1 一致(图 1),表明HN57 与安农S-1 的温敏不育基因完全共分离.由于克隆OJ1006_A02 被第二染色体的RFLP标记R2164 锚定(hppt: //rgp.dna.affrc.go.jp),R2164 位于第二染色体的31.2 cM处,而HN57 定位于BAC克隆OJ1006_A02上,说明安农S-1 的温敏不育基因位于水稻第二染色体的31.2 cM位置附近.

2.4 温敏不育基因的存在区间的确定

虽然HN57 与不育基因共分离, 但据此不能确定 不育基因的存在区间, 为了确定此区间, 我们构建了 另外2个杂交组合的Fo群体,并在HN57所在的区域5 cM范围内筛选了80对SSR标记,其中67对SSR标记 为本研究新发展的。用这些SSR标记以及HN57 分析 了安农S-1 与安农N、安农S-1 与IR36 以及香 125S与 BAR-68 之间的多态性, 所有的SSR标记在安农S-1 与 安农N之间没有多态性. 而在安农S-1 与IR36 之间和 香 125S与BAR-68 之间的多态性标记分别有 11 和 6 个(表 2). 这些多态性标记和F2群体用于安农S-1 的温 敏不育基因的精细定位. 综合 2 个F2群体的定位结果 (图 2), 安农S-1 的温敏不育基因定位于标记RMAN7 和RMAN54之间,与目标基因分别有2个重组.由于 RMAN7, HN57 和RMAN54 定位于第二染色体(序列 号: AP008202)的 6006136, 6118614 和 6187468 bp处, 因此最终将安农S-1 的温敏不育基因定位于 181 kb的 区域.

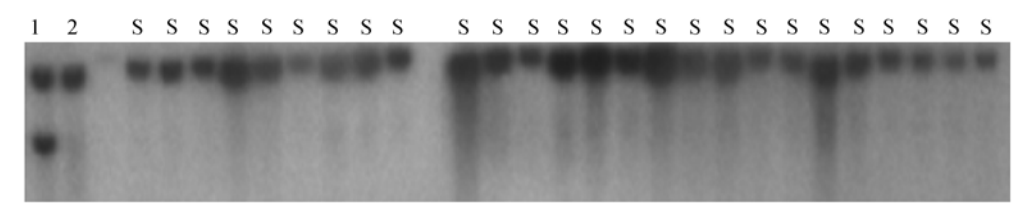


图 1 HN57 为探针检测的安农 N(1)与安农 S-1(2)的 RFLP 多态以及与 F2 植株雄性不育性(S)的共分离 用限制性内切酶*Hpa* 消化基因组DNA. 图中只显示 26 个F₂植株

分子标记	上游引物	下游引物	位置/bp (AP008208)
RM5780 ^{a),b)}	5'-GCTGCTGCATCTTCTACTGC-3'	5'-G ACGCACATGCCTAAGCCTA-3'	5453190
RMAN13 ^{a),b)}	5'-CAACAAGGGCATCCTCGTA-3'	5'-ATCTGCATGACTTCTTAGTCA-3'	5866565
RMAN7 ^{b)}	5'-GTACCTCATCATAGCTGGAC-3'	5'-CCGTATCTCTCTAATCTTCTC-3'	6006136
RMAN54 ^{a)}	5'-CGTGGCGAACACCAACCTC-3'	5'-GCTGTTTCTCTGTACGCATG-3'	6187468
RM4702 ^{a)}	5'-CATGTGAAAGAAAATGATATG-3'	5'-CTAATCAAACTGATGAGCAC-3'	6219041
RMAN81 ^{a)}	5'-ACTGAAAGTGGTCTGTTAGC-3'	5'-TCTTACCAAAGCCGTGTGTC-3'	6237401
RMAN43 ^{a)}	5'-GCTTGAGCTTCGTATAGGTG-3'	5'-CTCCAGGTGATCAGAGATTC-3'	6320934
RMAN42 ^{a)}	5'-CACTCATGTACCAAGAACTC-3'	5'-TCAAGAGTTAAGGATTCGATC-3'	6398468
$RMAN20^{a),b)} \\$	5'-CATGACTAATTGCGTATTAGC-3'	5'-AAACAACCGAACGGTGTGTT-3'	6444884
RNAM2 ^{a),b)}	5'-GCAAGGAGACAACTCCTCC-3'	5'-GATTAGATCTATACATGCATCG-3'	6503477
C365 ^{a)}	5'-TCCAAGAGTTTCAGCACAGC-3'	5'-TGATGTTGCTGTAGGCTCTG-3'	6709997
RMAN8 ^{a),b)}	5'-GTGCATGGTGTGTACACTAG-3'	5'-CAACAAATGGTATATTCCAACG-3'	6780044

表 2 筛选的多态性 SSR 标记

a) 示可以在安农 S-1 与 IR36 之间检测到多态性; b)表示可以在香 125S 与 BAR-68 之间检测到多态性

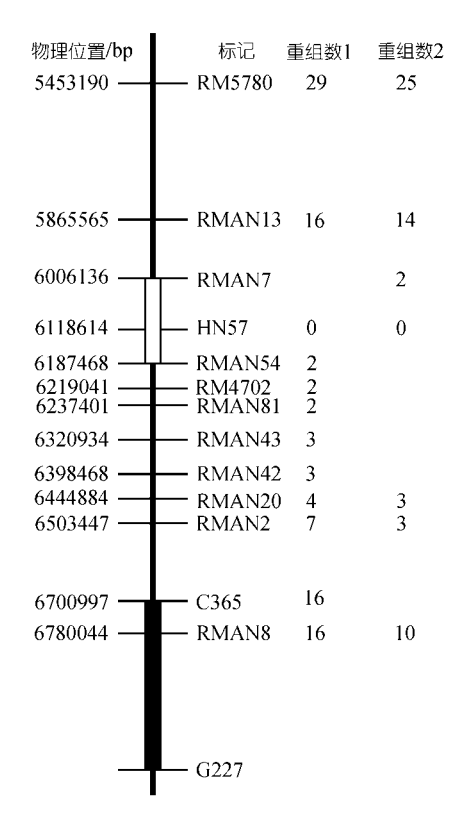


图 2 tms5 所在区域的分子标记连锁图 重组数 1 表示安农S-1 imesIR36 的 F_2 群体的数据,重组数 2 表示香 125S imesBAR-68 的 F_2 群体的数据,空心的长方形所在区域表示本研究的定位结果,实心的长方形区域表示Wang等人 $^{[5]}$ 定位的tms5 的位置

3 讨论

Wang等人 $^{[3]}$ 用安农S-1×南京 $^{[1]}$ 杂交产生的重组自交系 $^{[3]}$ 8代群体中的 $^{[3]}$ 46 株不育株,对安农S-1的不育基因进行了定位分析,将其温敏不育基因定位于第二染色体,位于标记 $^{[3]}$ 26 和 $^{[3]}$ 32 和 $^{[3]}$ 26 和 $^{[3]}$ 36 和 $^{[3]}$ 37 之间,并将该

基因命名为tms5. 本研究发现了与安农S-1 温敏不育基因完全共分离的EST标记HN57, 该标记位于第二染色体的 31.2 cM处, 并用SSR标记和 516 株F2 不育株将安农S-1 的温敏不育基因定位在RMAN7 和RMAN54 之间的 181 kb区域. 本区域与Wang等人^[5]定位的C365~G227 区域的边际遗传距离为 2.5 cM,物理距离约为 590 kb. 由于所用的不育材料相同, 本研究仍将定位的温敏不育基因称名为tms5, 而定位结果的差异反映的可能是不同实验的误差. 本研究利用了 3 个定位群体进行定位,实验结果相互验证,可靠性应该较好.

安农 S-1 的温敏不育基因已广泛应用于水稻两系法育种中,已培育出多个杂交组合,其花粉育性主要受温度的控制,在不育温度条件下,随温度的升高,不育系的花粉由不可染转变为无花粉型.另外,安农 S-1 温敏不育系随种植世代的增加,不育的起点温度将逐渐升高,导致温敏不育系不稳定,具体原因不清楚.因此,温敏不育的机理是目前迫切需要了解的问题.而了解温敏不育机理的途径是克隆温敏不育基因.

致谢 感谢肖国英博士提供了香 $1258 \times BAR-68$ 的 F_2 群体. 本工作受国家重点基础研究发展规规划(批准号: G1999011603, 2005CB120802)、国家高新技术研究发展计划(批准号: 2002AA224121)、国家自然科学基金(批准号: 30080019)、广东省自然科学基金团队项目和广州市科技项目资助.

参 考 文 献

1 Wang B, Xu W W, Wang J Z, et al. Tagging and mapping the

- thermo-sensitive genic male-sterile gene in rice with molecular markers. Theor Appl Genet, 1995, 91: 1111~1114
- Yamagushi Y, Ikeda R, Hirasawa H, et al. Linkage analysis of the thermo-sensitive genic male sterility gene tms2 in rice (Oryza sativa L). Breed Sci, 1997, 47: 371~377
- 3 Subudhi P K, Borkakati R K, Virmani S S, et al. Molecular mapping of a thermo-sensitive genetic male sterility gene in rice using bulked segregant analysis. Genome, 1997, 40: 188~194
- 4 Dong N V, Subudhi P K, Luong P N, et al. Molecular mapping of a rice gene conditioning thermo-sensitive genic male sterility using AFLP, RFLP and SSR techniques. Theor Appl Genet, 2000, 100: 727~734[DOI]
- Wang Y G, Xing Q H, Deng Q Y, et al. Fine mapping of the rice thermo-sensitive genic male-sterile gene *tms5*. Theor Appl Genet, 2003, 107(5): 917-921[DOI]
- 6 Lee D S, Chen L J, Suh H S. Genetic characterization and fine mapping of a novel thermo-sensitive genic male-sterile gene *tms6* in rice (*Oryza sativa* L). Theor Appl Genet, 2005, 111(7): 1271~1277[DOI]
- 7 Koh H J, Son Y H, Heu M H, et al. Molecular mapping of a new genic male-sterility gene causing chalky endosperm in rice (*Oryza sativa* L). Euphytica, 1999, 106: 57~62[DOI]

- 8 邓华凤,舒福北,袁定阳.安农 S-1 的研究及其利用概况.杂交水稻,1999,14(3):1~3
- 9 Diatochenko L, Lau Y F, Campbell A P, et al. Suppression Subtractive Hybridization: A method for generating differentially regulated or tissue-specific cDNA probes and libraries. Proc Natl Acad Sci USA, 1996, 93(12): 6025~6030[DOI]
- 10 庄楚雄, 徐是雄, 卢永根, 等. 运用 cDNA 缩减杂交法克隆水稻 花粉发育有关的 cDNA. 科学通报, 1999, 44(17): 1842~1846
- 11 McCouch S R, Kochert G, Yu Z H, et al. Molecular mapping of rice chromosomes. Theor Appl Genet, 1988, 76: 815~829[DOI]
- 12 Akaji H, Yokozeki Y, Inagaki A, et al. Micron, a microsatellite-targeting transposable element in the rice genome. Mol Genet Genomics, 2001, 266(3): 471~480[DOI]
- 13 Xu S B, Tao Y F, Yang Z Q, et al. A simple and rapid methods used for silver staining and gel preservation. Hereditas, 2002, 24: 335~336
- 14 Zhang Q F, Shen B Z, Dai X K, et al. Using bulked extremes and recessive classes to map genes for photoperiod-sensitive genic sterility in rice. Proc Natl Acad Sci USA, 1994, 91: 8675~8679

(2005-09-13 收稿, 2005-12-12 接受)